

Equations du mouvement  $\dot{X} = P(X)$   
 ( usuellement rationnel après ch<sup>r</sup> de variable approprié ) tel qu'il existe suffisamment de quantités conservées en involution .

On s'intéresse au cas où on peut écrire ceci sous la forme

$$\dot{L}(\lambda) = [L(\lambda), M(\lambda)]$$

$L$  est une matrice  $N \times N$  dépendant analytiquement d'un paramètre "spectral"  $\lambda$ .  
 Ceci est une identité en  $\lambda$  équivalente aux équations du mv !

Courbe spectrale .  $L(\lambda)_t$  est de la

forme  $U(t) L(\lambda)_0 U(t)^{-1} \Rightarrow$

$$\det (L(\lambda) - \mu I)$$

reste constant au cours du temps. Les quantités conservées sont cachées parmi les coefficients de cette expression.

La courbe  $R(\lambda, \mu) \equiv \det (L(\lambda) - \mu I) = 0$  est la courbe spectrale.

C'est l'objet principal de notre étude.

Exemples

Neumann

Point sur une sphère de rayon  $R$  ②  
avec des forus de rappel  $-a_k x_k$ .

$$\ddot{x}_k = -R^2 a_k x_k - x_k \sum_e (\dot{x}_e^2 / R^2 - a_e x_e^2)$$

Matrice de Lax  $\dot{L} = [L, M]$

$M$  s'exprime simplement sur  $L$ . (\*)

$$L(\lambda) = L_0 + \sum_k \frac{1}{\lambda - a_k} L_k$$

$$L_0 = \begin{pmatrix} 0 & 0 \\ -1 & 0 \end{pmatrix} \quad L_k = g_k \begin{pmatrix} 0 & 1 \\ 0 & 0 \end{pmatrix} g_k^{-1}$$

$$g_k = \begin{pmatrix} x_k & 0 \\ p_k & x_k^{-1} \end{pmatrix} \quad \text{Orbite coadjointe.}$$

$p_k$  est le moment conjugué de  $x_k$ .

$$L = \begin{pmatrix} -v & u \\ -w & v \end{pmatrix} \quad u = \sum \frac{x_k^2}{\lambda - a_k} \quad v = \sum \frac{x_k p_k}{\lambda - a_k}$$
$$w = 1 + \sum \frac{p_k^2}{\lambda - a_k}$$

Courbe spectrale

$$\det(L(\lambda) - \mu) = 0 = \mu^2 - v^2 + uw = \mu^2 + \sum \frac{F_k}{\lambda - a_k}$$

$$F_k = x_k^2 + \sum_{e \neq k} \frac{J_{ke}^2}{a_k - a_e}$$

$$J_{ke} = p_k x_e - p_e x_k$$

$F_k$  : quantités conservées en involution

$$\sum F_k = \sum x_k^2 = R^2$$

(\*) En fait on peut prendre

$$M(\lambda') = \frac{1}{\lambda - \lambda'} L(\lambda')$$

Toda Chaîne de Toda fermée ②

$$\dot{q}_i = p_i \quad \dot{p}_i = 2 \left( e^{2(q_{i-1} - q_i)} - e^{2(q_i - q_{i+1})} \right)$$

$$(p_0, q_0) = (p_{n+1}, q_{n+1}) \quad (p_1, q_1) = (p_{n+2}, q_{n+2})$$

Expériences numériques Fermi Pasta UCam

Matrice de Lax  $a_i = e^{q_i - q_{i+1}}$

$$L(\lambda) = \begin{pmatrix} p_1 & a_1 & 0 & \dots & \lambda^{-1} a_{n+1} \\ a_1 & p_2 & a_2 & \dots & 0 \\ \dots & \dots & \dots & \dots & \dots \\ \lambda a_{n+1} & 0 & \dots & a_n & p_{n+1} \end{pmatrix}$$

$\prod a_k = 1$   
 $\sum p_k = 0$

Courbe Spectrale

$$(\lambda + \lambda^{-1}) \prod a_k - 2t(\mu) = 0$$

$$2t(\mu) = \mu^{n+1} - \mu^n \sum_{i=1}^{n+1} p_i + \dots$$

Posant  $\rho = \lambda - t(\mu)$

$$\lambda^2 - 2t\lambda + 1 = 0 \Rightarrow \rho^2 = t^2(\mu) - 1$$

= polynôme de degré  $2(n+1)$  en  $\mu$

dependant de  $n$  paramètres "dynamiques"

coeffs ce  $\mu^0, \mu^2, \dots, \mu^{n-1}$

$$M(\lambda) = \begin{pmatrix} 0 & -a_1 & 0 & \dots & \lambda^{-1} a_{n+1} \\ a_1 & 0 & -a_2 & \dots & 0 \\ \dots & \dots & \dots & \dots & \dots \\ -\lambda a_{n+1} & \dots & 0 & a_n & 0 \end{pmatrix}$$

Calogero

N points, matrice L table N x N

$$L_{ij} = p_i \delta_{ij} + (1 - \delta_{ij}) \bar{\Phi}(q_i - q_j; \lambda)$$

$\uparrow$  diagonal                       $\uparrow$  hors diagonal.

$p_i$  : moment associé  $\Rightarrow p_i = \dot{q}_i$

$$\bar{\Phi}(q; \lambda) = \frac{\sigma(\lambda - q)}{\sigma(\lambda) \sigma(q)} e^{\zeta(\lambda) q}$$

$$\Rightarrow \bar{\Phi}(q, \lambda) \propto 1/q \quad \text{pour } q \rightarrow 0$$

Calogero à spin

Matrice N x N, "dynamique"

$$L_{ij} = p_i \delta_{ij} + (1 - \delta_{ij}) \overbrace{F_{ij}} \bar{\Phi}(q_i - q_j; \lambda)$$

$F_{ij}$  est la variable dynamique "de spin"

$$\{ \delta_{ij}, f_{jk} \} = -\delta_{jk} F_{ie} + \delta_{ei} F_{kj}$$

restreinte  $\bar{a}$   $F_{ii} = 1$ .

$$\left\{ \begin{aligned} H &= \frac{1}{2} \sum_{i=1}^N p_i^2 - \frac{1}{2} \sum_{\substack{i, j=1 \\ i \neq j}}^N f_{ij} f_{ji} V(q_i - q_j) \\ V(q) &= \mathcal{P}(q) \propto 1/q^2 \quad q \rightarrow 0 \end{aligned} \right.$$

En faisant dériver les périodes de la fonction elliptique, on a le cas :

- trigonométrique

$$L_{ij} = p_i \delta_{ij} + (1 - \delta_{ij}) f_{ij} (\coth q_{ij} - \coth \lambda)$$

$$V(q) = 1/\sinh^2 q$$

- rationnel

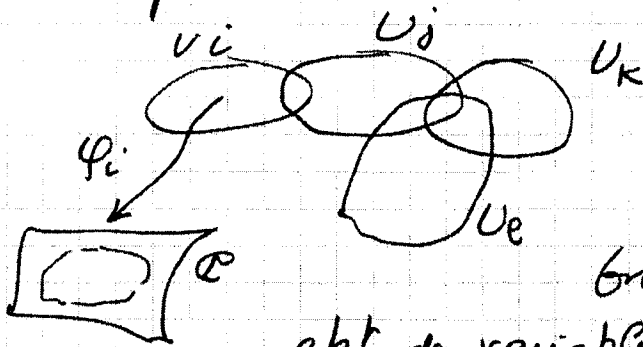
$$\bar{\Phi} \rightarrow \left( \frac{1}{q} - \frac{1}{\lambda} \right) \quad V(q) \rightarrow \frac{1}{q^2}$$

# Courbe et surface de Riemann

(5)

Une courbe  $R(\lambda, \mu) = 0$ , polynôme de degré  $N$  en  $\mu$  peut être vue comme une surface de Riemann, présentée comme un revêtement à  $N$  feuillets de  $\mathbb{C}$

Surface de Riemann : Variété analytique complexe de dimension 1, compacte.



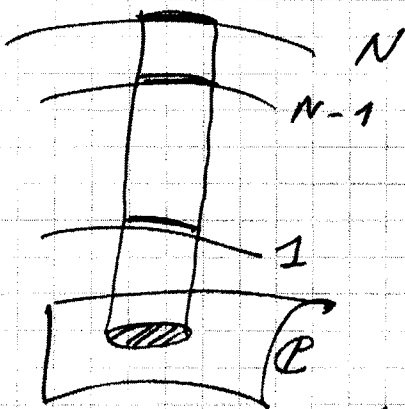
$U_i \cap U_j$  est envoyé sur  $\mathbb{C}$  par  $\varphi_i$  et  $\varphi_j$

On demande que le

cht de variables  $z_i \leftrightarrow z_j$  soit analytique et bijectif. Compacte  $\Rightarrow$  pas de trous, de points singuliers, etc.

## Courbe $\Rightarrow$ Surface

$R(\lambda, \mu) = 0 \Rightarrow \mu = \mu_1(\lambda) \dots \mu_N(\lambda)$   
au voisinage de  $\lambda$  tel qu'il y ait  $N$  racines distinctes.



Ceci définit des ouverts et le paramètre local  $\lambda$

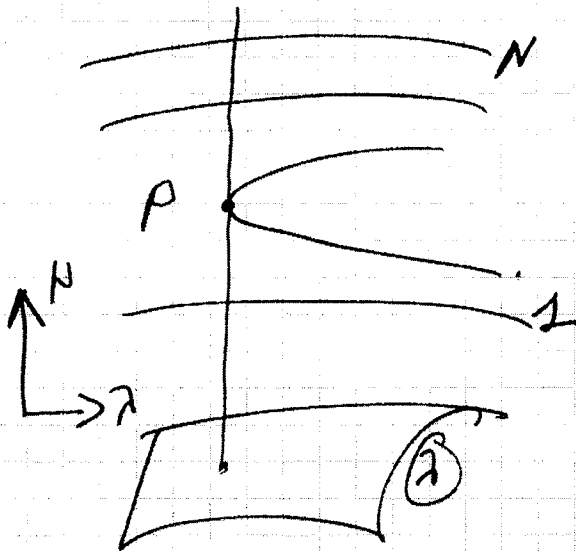
Si  $\partial_\lambda R \neq 0$   $\partial_\mu R \neq 0$   
on peut faire cela soit avec  $\lambda$  soit avec  $\mu$

(théorème des fonctions implicites)

Cas particuliers : points de branchement  
} Singuliers.

# Points de branchement

⑥



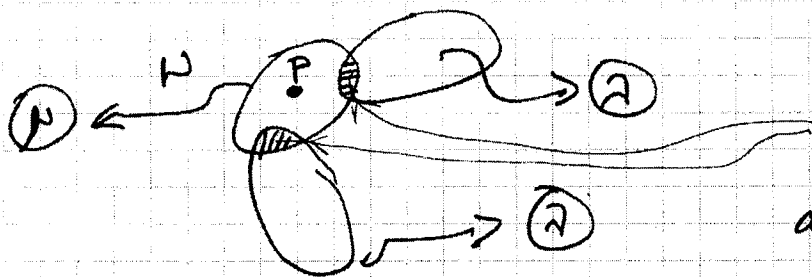
Au point P

$$\frac{d\mu}{d\lambda} = -\frac{\partial_\lambda R}{\partial_\mu R} = \infty$$

donc  $\partial_\mu R = 0$

Supposant  $\partial_\lambda R \neq 0$

on prend  $\mu$  comme paramètre local et on exprime  $\lambda = \lambda(\mu)$

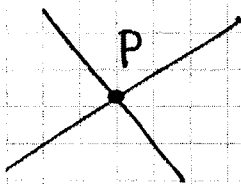


Ici

$\lambda \leftrightarrow \mu$   
analytiquement

## Point singulier

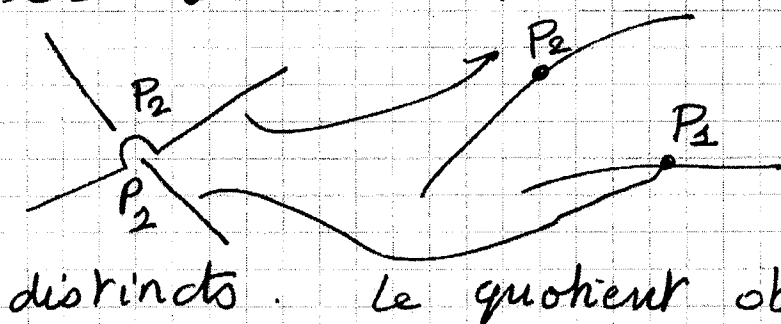
Points où  $\partial_\lambda R = \partial_\mu R = 0$  (sur la courbe  $R=0 \Rightarrow$  généralement il n'y en a pas, pratiquement il y en a).



Typiquement

$$R(\lambda, \mu) = \lambda^2 + \mu^2 + \text{ordre supérieur}$$

## De'singularisation



(on regarde ceci comme 2 branches avec 2 pts  $P_1, P_2$ )

distincts. Le quotient obtenu en identifiant

$P_1$  et  $P_2$  est la courbe singulière  $\textcircled{7}$   
 "naive" ayant un seul point singulier  $P$ .  
 Au total on obtient ainsi une courbe  
compacte, pas de trou, pas de  $p^h$   
 singulier, et un revêtement "branché"  
 à  $N$  feuilletés de  $\mathbb{C}^*$  "sphère de Riemann"!

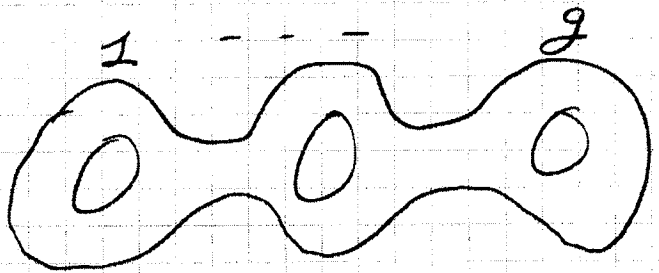
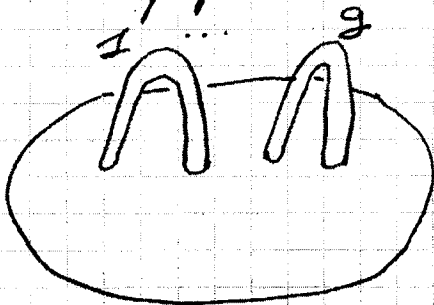
## Surface de Riemann

Une surface de Riemann est orientable  
 car  $z_i \rightarrow z_j$  analytique préserve l'orientation  
 Il y a une classification topologique des  
 surfaces orientables compactes :

sphère à  $g$  poignées

$g$  s'appelle le

**GENRE**



Attention! Sur une surface de genre  $g$   
 on peut plaquer  $\dim(3g - 3)$  ( $g \geq 2$ )  
 structures complexes  $\hookrightarrow$  Espace des MODULES.

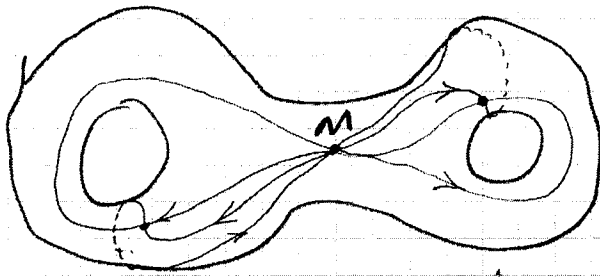
### Preuves topologiques

- Triangulation
- Théorie de Morse

Springer Introduction to  
 Riemann surfaces

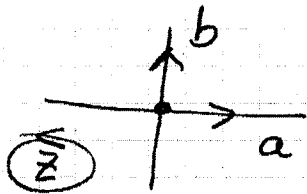
A. Gramain Topologie des surfaces

# Disssection d'une surface de Riemann



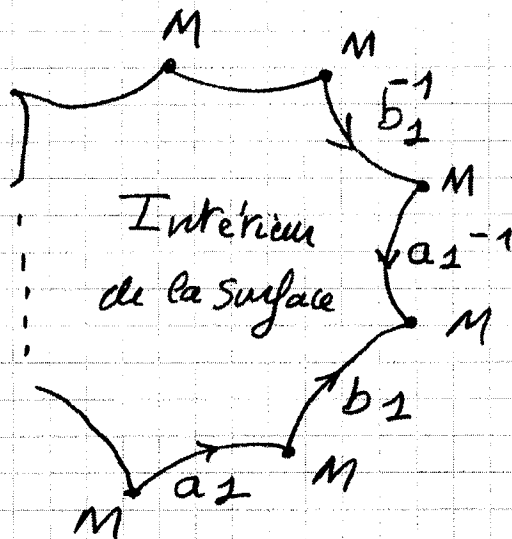
Sur une surface de genre  $g$  on peut tracer des chemins  $a_1 \dots a_g$   $b_1 \dots b_g$

tels que  $i(a_k, b_e) = \delta_{ke}$   $\left\{ \begin{array}{l} \text{Indice} \\ \text{d'intersection} \end{array} \right.$   
 $i(a_k, a_e) = i(b_k, b_e) = 0$



Intersection simple et dans le sens direct  $\Rightarrow$  contribution  $+1$

Tout autre chemin s'écrit  $\sum (n_k a_k + m_k b_k)$ .  
 Si on découpe la surface de Riemann selon les chemins ci-dessus, on obtient la dissection :



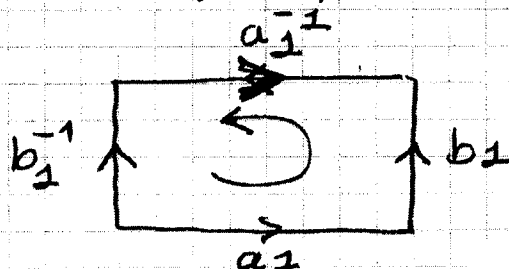
Les bords vérifient

$$\prod (a_k b_k a_k^{-1} b_k^{-1}) = 1$$

Réciproquement si on considère ce polygone avec les identifications marquées on fabrique la surface.

Exemple : Torus

$$g = 1$$



# Fonctions sur une surface de Riemann

(9)

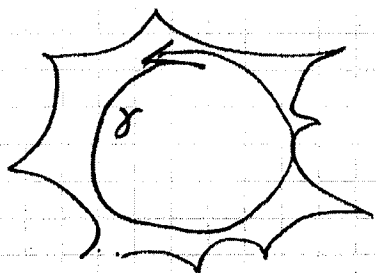
Une fonction est analytique, méromorphe, etc. si elle l'est dans chaque  $U_j$  exprimée sur le paramètre local  $z_j$ .

Liouville Pas de fonction analytique partout sur une surface de Riemann.

Mais il existe des fonctions méromorphes (avec des pôles. Résultat non trivial).

L'ensemble de ces fonctions forme un **corps**, le corps des fonctions méromorphes sur la surface.

Théorème (Rouché) Une fonction a autant de zéros que de pôles sur une surface de Riemann

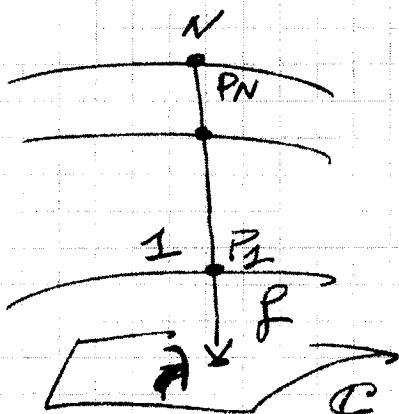


$$\int_{\gamma} \frac{df}{f} = 2i\pi \sum \text{Résidus}$$
$$= 0 \quad \text{car} \left( \int_{a_k} + \int_{\bar{a}_k'} \right) \frac{df}{f} = 0$$

Appliquant ceci à  $f \rightarrow f - a$  :

Prop  $f$  prend chaque valeur exactement  $N$  fois ( $N$  est le nombre de pôles).

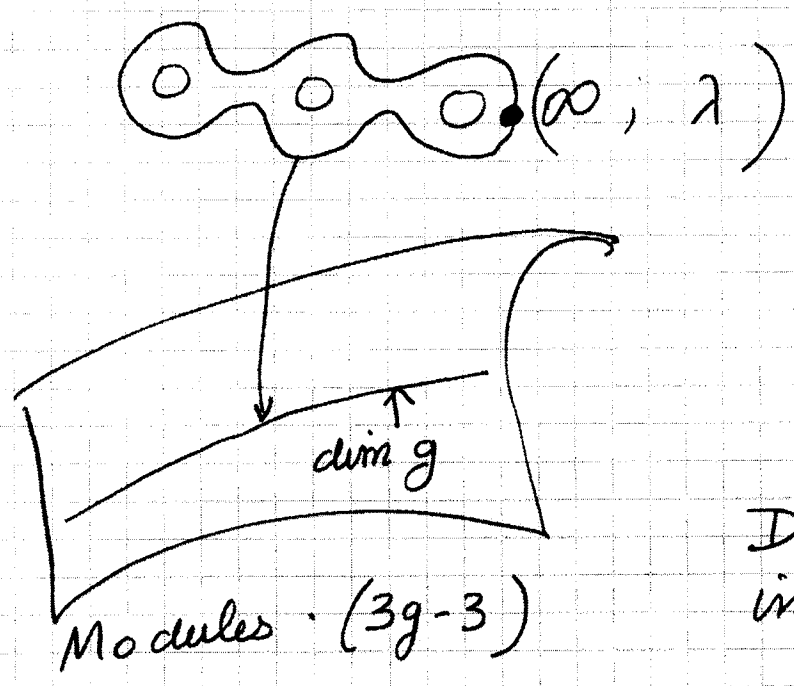
Réciproque Surface  $\rightarrow$  Courbe. (Voir Springer)



$f$  définit un revêtement à  $N$  feuilletés de  $\mathbb{C}$

Pre nous une deuxième fonction  $g$   
 et formons  $(N - g(P_1))(N - g(P_2)) \dots (N - g(P_N))$   
 Pour  $P_1 \dots P_N$  au dessus de  $\mathbb{A}^1 \setminus \{0, 1, \lambda\}$ .  
 les  $g(P_j)$  sont localement analytiques en  $\lambda$ .  
 Les fonctions symétriques élémentaires ne  
 dépendent pas de l'ordre des feuillettes  $\Rightarrow$   
 sont des fonction de  $\lambda$  pures, analytiques.  
 Donc ceci définit une courbe  $R(\lambda, N) = 0$   
 et pour tout point  $P$  générique  $R(f(P), g(P)) = 0$   
 donc par prolongement  $R(f, g) = 0$   
 $R$  est rationnelle en  $\lambda$  car  $g$  n'a que des pôles au plus

Système intégrable abstrait



On verra que un  
 système intégrable  
 a  $g$  "variables  
 d'action" et  $g$   
 "variables d'angle"

Donc un système  
 intégrable est défini

par une famille de dimension  $g$  de surfaces  
 de Riemann auxquelles on adjoint un  
 paramètre local commun  $\lambda$  avec  $\infty$  pt  $\infty$ .

# Exemple Courbe hyperelliptique. (11)

Sur laquelle existe une fonction avec un pôle double :  $\lambda$ . Donc  $\lambda$  prend 2 fois chaque valeur, et on peut trouver  $\mu$  dans le corps de fonctions telle que l'équation soit :

$$\mu^2 = P(\lambda) \quad P(\lambda) = \prod_{k=1}^N (\lambda - \lambda_k)$$

$(\lambda, \mu) \rightarrow \lambda$  est un revêtement à 2 feuillets avec des pts de branchement en  $\lambda = \lambda_k$ .

$\partial_{\lambda} R \neq 0 \wedge \partial_{\mu} R = 0 \Rightarrow \mu = 0$  mais alors  $\partial_{\lambda} R \neq 0$  donc pas de pts singuliers sauf à l' $\infty$ .

Points à l' $\infty$  singulier  $\lambda \rightarrow 1/\lambda \quad \mu \rightarrow 1/\mu$

$$\lambda^N = \mu^2 \prod_{k=1}^N (1 - \lambda \lambda_k) \quad \lambda \rightarrow 0$$

•  $N$  pair  $(\lambda, \mu) \leftrightarrow (\lambda, \mu \lambda^{N/2})$

Transformation birationnelle : changement de "base" dans le corps de fonction, bijectif

$$1 = \mu^2 \prod (1 - \lambda \lambda_k)$$

Donc on a 2 branches désingularisées

$$\mu = 1 + o(\lambda) \quad \mu = -1 + o(\lambda)$$

et deux points à l' $\infty$ .

$$\boxed{B=N}$$

•  $N$  impair

$$(\lambda, \mu) \leftrightarrow (\lambda, \mu \lambda^{(N-1)/2})$$

$$\lambda = \mu^2 \prod (1 - \lambda \lambda_k) \Rightarrow \mu^2 = \lambda + o(\lambda^2)$$

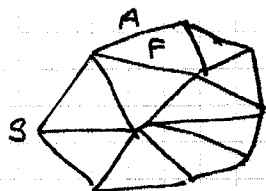
$$\boxed{B=N+1}$$

On a 1 point à l' $\infty$  qui est un pt de branchement du revêtement  $(\lambda, \mu) \mapsto \lambda$ .

# Calcul du genre

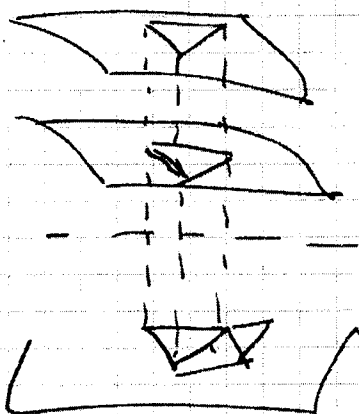
Partie topologique. Si la surface est triangulée, caractéristique d'Euler Poincaré

$$\chi = F - A + V = 2 - 2g$$



Preuve en partant de la forme dissectée.

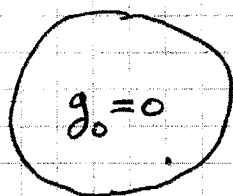
Ensuite on utilise le revêtement à  $N$  feuilletés pour projeter la triangulation sur la base, en mettant des points de branchement sur des sommets



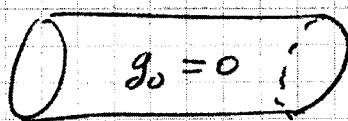
Soit  $B$  le nombre de points de branchement et  $F, A, V$  les nombres sur la base. En haut on a  $NF, NA, NV - B$   
 $\Rightarrow \chi = N\chi_0 - B$

Soit 
$$2g - 2 = N(2g_0 - 2) + B$$
  
Riemann - Hurwitz

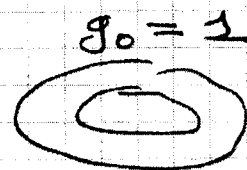
Selon que la base est



↑  
cas rationnel



↑  
cas trigo



↑  
cas elliptique

Partie analytique

Il faut compter le nombre de pts de  
branchement.  $R(\lambda, \mu) = 0$   $\deg_{\mu} R = N$

$R = \partial_{\mu} R = 0$ . Supposons R polyn.

Il y a  $N(N-1)$  pts de branchement  
(théorème de Bezout)

Preuve:  $\partial_{\mu} R$  est une fonction sur la  
surface qui a autant de zéros que de poles.

les poles sont à l'∞. R possède N  
branches  $\mu = \mu_k(\lambda)$   $k=1, \dots, N$   $\lambda \rightarrow \infty$

sur chacune desquelles  $\mu$  a un pole simple

$\Rightarrow \partial_{\mu} R \propto \mu^{N-1}$  un pole d'ordre (N-1)  $\Rightarrow$   
 $N(N-1)$  poles. Si la base est une sphère

$$g = \frac{1}{2} B - N + 1 = \frac{(N-1)(N-2)}{2}$$

Ce qui est bien le genre de la courbe géométrique.  
le genre diminue quand il y a des pts singuliers.

Application aux courbes hyperelliptiques

Revêtement à 2 feuilletts avec  $(g = \frac{1}{2} B - 2 + 1)$

$B = N$  pour N pair  $(\Leftrightarrow N = 2g + 2)$

$B = N + 1$  pour N impair  $(\Leftrightarrow N = 2g + 1)$

Donc pour un genre g donné la courbe s'écrit

$\mu^2 = P_{2g+1}(\lambda)$  ou  $\mu^2 = P_{2g+2}(\lambda)$

On passe du dernier cas au premier en envoyant  
un pt de branchement à l'∞ par  $\lambda \rightarrow 1/(\lambda - \lambda_0)$

# Modules

(14)

La courbe hyperelliptique de genre  $g$  s'écrit  
 $\mu^2 = P_{2g+1}(\lambda) \iff 2g+2$  coeffs

En normalisant  $\mu, \lambda$  on se ramène à

$$\mu^2 = \lambda(\lambda-1) \prod_{k=2}^{2g-1} (\lambda - \lambda_k)$$

les  $\lambda_k$  sont les modules des courbes hyperelliptiques. Exemple dans le cas elliptique on peut se ramener à :

$$\mu^2 = \lambda(\lambda-1)(\lambda-t)$$

et il y a 1 module en genre 1.

En genre 2, on trouve de même 3 modules

Mais  $(3g-3) = 3$  donc toutes les courbes de genre 2 sont hyperelliptiques. Dès le genre 3 il y a des courbes non hyperelliptiques,

typiquement la courbe  $P_4(\lambda, \mu) = 0$  générique

car  $g = (N-1)(N-2)/2 = 3$ . Ici on a

$$(3g-3) = 6 \quad \text{et} \quad (2g-1) = 5$$

Il y a donc une famille à 1 paramètre non hyperelliptique, exemple

$$\boxed{\lambda^4 + \mu^4 = 1}$$

Regarder des exemples de courbes spectrales de systèmes intégrables. Tout le l'intérêt est dans la manière dont les modules sont répartis en variables non dynamiques et variables d'action

Cas général Théorie de la déformation de Kodaira-Spencer. Victor Palamodov Tel Aviv

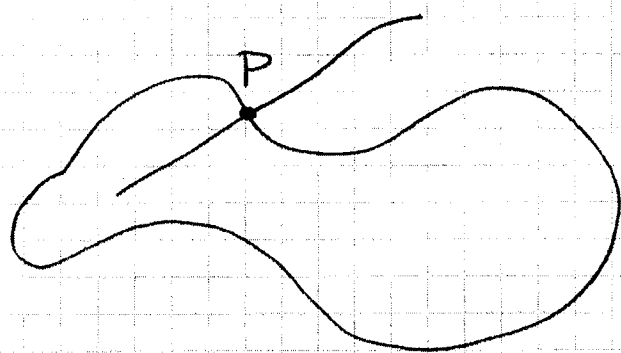
# Problème inverse

15

La méthode algebro-geometrique consiste à reconstituer  $L(\lambda)$  connaissant certaines données sur la courbe spectrale. Comme dans la théorie usuelle du problème inverse, ces données évoluent trivialement au cours du temps (sous  $\dot{L} = [L, M]$ ) donc tout est dans la construction de ces données et la reconstruction de  $L$ .

Donnée naturelle : en chaque point

$P$  de la courbe



$$\det(L(\lambda) - \mu) = 0$$

donc il existe un

espace propre en  $P$

génériquement de dimension 1.

Autrement dit on peut résoudre

$$L(\lambda) \psi(\lambda, \mu) = \mu \psi(\lambda, \mu) \quad \psi \neq 0$$

$\psi$  est donné par les formules de Cramer

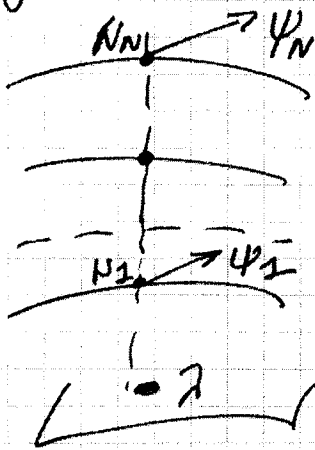
donc les composantes de  $\psi$  sont des fonctions rationnelles (ou plus généralement holomorphes - cas elliptique) de  $\lambda$  et  $\mu$ .

Mais au voisinage de  $P$ ,  $(\lambda, \mu) = (\lambda(z), \mu(z))$

où  $z$  est un paramètre local (typiquement  $\lambda$  ou  $\mu$ ) . Donc  $\psi$  dépend analytiquement de  $z$ , et il en est de même partout (16)

On a associé à  $L(\lambda)$  un fibré analytique en droites sur la courbe spectrale.

Réciproquement ce fibré permet de reconstruire  $L$  à une symétrie triviale près. En effet au dessus de  $\lambda$  il y a  $N$  points  $\mu_1 \dots \mu_N$ , et on



peut choisir  $N$  vecteurs propres  $\psi_1 \dots \psi_N$ .

Formons la matrice  $N \times N$

$$\hat{\psi} = (\psi_1 \dots \psi_N)$$

Alors

$$L(\lambda) = \hat{\psi} \hat{\mu} \hat{\psi}^{-1}$$

où  $\hat{\mu} = \text{diag}(\mu_1 \dots \mu_N)$ .

Cette quantité est invariante par permutation des feuillettes et est donc seulement fonction de  $\lambda$ .

L'ambiguïté est  $\psi_k \rightarrow d_k \psi_k \quad d_k \neq 0$

Ceci veut dire  $\hat{\psi} \Rightarrow \hat{\psi} \hat{D} \quad \hat{D} = \text{diag}(d_k)$

Comme  $[\hat{D}, \hat{\mu}] = 0$   $L(\lambda)$  est invariant.

Points particuliers  $\mathbb{I}e$  est essentiel

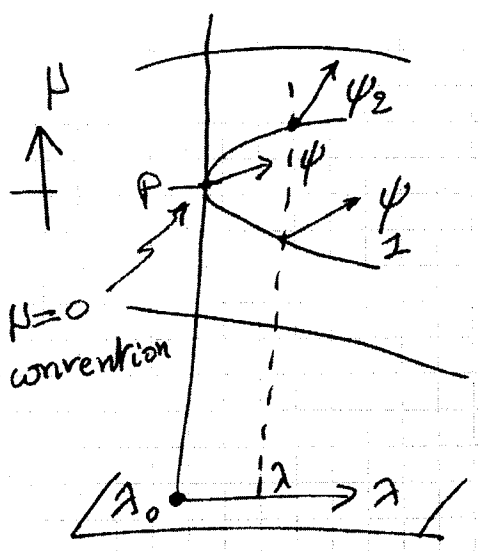
que tout ceci marche aux pts de branchement et singuliers

Pt. de Branchement

Autour de P, c'est  $\mu$  qui est paramètre local.

$\psi$  dépend analytiquement de  $\mu$  et  $\lambda = \mu^2(a+b\mu+\dots)$

En particulier en  $\lambda = \lambda_0$   $L(\lambda)$  "perd" une valeur



propre, perd un vecteur propre, et devient un bloc de Jordan.

$$\psi(\mu) = \psi_0 + \mu \psi'_0 + \dots$$

A  $\lambda$  fixe on a  $\mu = \pm \sqrt{\lambda} + \dots$

et donc  $\psi_1 = \psi_0 - \sqrt{\lambda} \psi'_0 + \dots$

$$\psi_2 = \psi_0 + \sqrt{\lambda} \psi'_0 + \dots$$

Choisissant une base adaptée  $e_1 = \psi_0$   
 $e_2 = \psi'_0$ ,  $e_3 \dots e_N$  les autres vecteurs propres au dessus de  $\lambda_0$ , à de petites corrections près:

$$\hat{\psi} = \begin{pmatrix} 1 & 1 & 0 \\ \mu & -\mu & \\ 0 & & I \end{pmatrix} \quad \hat{\psi}^{-1} = \frac{1}{2\mu} \begin{pmatrix} \mu & 1 & 0 \\ \mu & -1 & \\ 0 & & I \end{pmatrix}$$

$$\Rightarrow L = \hat{\psi} \begin{pmatrix} \mu & 0 \\ 0 & * \end{pmatrix} \hat{\psi}^{-1} = \begin{pmatrix} 0 & 1 \\ 0 & 0 \\ & & * \end{pmatrix}$$

L'échange  $\mu \rightarrow -\mu$  échange les 2 premières colonnes de  $\hat{\psi}$ , les deux premiers diagonaux de  $\hat{\mu}$ , les 2 premières lignes de  $\hat{\psi}^{-1} \Rightarrow$  ne change rien.

Donc seules les puissances paires de  $\mu$  interviennent  
 $\Rightarrow L$  est bien fonction de  $\lambda$ .

Retour sur la matrice L de Neumann.

Courbe spectrale  $\mu^2 + \sum \frac{F_k}{\lambda - a_k} = 0$

$\Rightarrow \mu^2 + \frac{\prod_1^{N-1} (\lambda - b_j)}{\prod_1^N (\lambda - a_k)} = 0$

$\mu \rightarrow \mu \prod (\lambda - a_k)$  donne

$\mu^2 = - \prod_1^N (\lambda - a_k) \prod_1^{N-1} (\lambda - b_j)$

↑ variables non dynamiques

↑ variables dynamiques

$\Rightarrow$  genre = N - 1

car  $2g + 1 = 2N - 1$

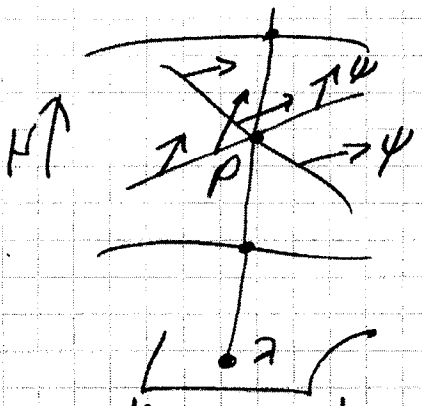
les valeurs  $\lambda = a_k$  sont aussi des pts de branchement, donc L doit y dégenerer en bloc de Jordan.

Il est donc force' que  $L(\lambda) \xrightarrow{\lambda \rightarrow a_k} g_k \begin{pmatrix} 0 & 1 \\ 0 & 0 \end{pmatrix} g_k^{-1}$

c'est à dire  $L_k$  décrit l'orbite d'une matrice nilpotente.

Point singulier

Si on a deux branches



Sur chaque branche  $\mu$  est une fonction définie de  $\lambda$  et on a un vecteur  $\psi(\lambda)$  bien défini. En P, la matrice devient diagonalisable avec 2 vecteurs propres et donc  $\propto \begin{pmatrix} 1 & 0 \\ 0 & 1 \end{pmatrix}$ .

Il n'y a donc JAMAIS AUCUNE SINGULARITE de  $\psi$

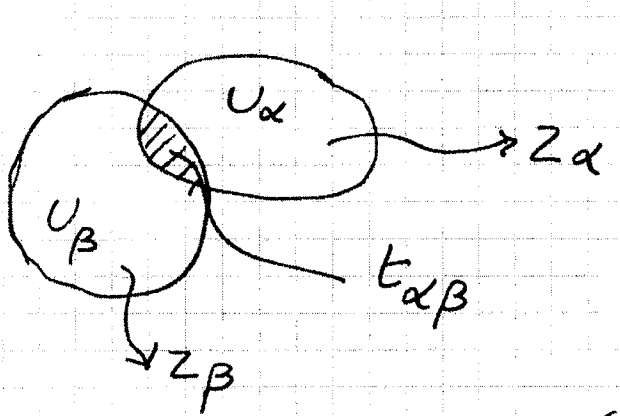
Ceci termine l'analyse du problème direct et inverse. A la matrice de Lax on peut associer un fibre' en lignes lisse sur la courbe spectrale, et reciproquement il permet de reconstruire L.

Un tel objet lisse est se've'rement contraint par des considerations d'analyticite', ce qui permet de le construire tres explicitement. Mais il faut d'abord comprendre comment il evolue au cours du temps avec l'evolution de  $L(t)$ .

Fibrés en ligne sur une surface de Riemann.

Definition abstraite.

Localement isomorphe à  $U_\alpha \times \mathbb{C}$



Plus ge'ne'ralement pour un fibre' vectoriel  $\simeq U_\alpha \times \mathbb{C}^K$

Sur  $U_\alpha \cap U_\beta$  on a

2 representations  $(z, V_\alpha)$  et  $(z, V_\beta)$  pour le me'me point, donc pour pre'server la structure vectorielle et analytique on demande

$V_\alpha = t_{\alpha\beta}(z) V_\beta$  ou  $t_{\alpha\beta}$  est une matrice  $K \times K$  analytique inversible. Pour un fibre' en lignes, c'est simplement une

fonction analytique inversible, sans zéro ni pôle sur  $U_\alpha \cap U_\beta$ .

Il y a une condition de cohérence sur  $U_\alpha \cap U_\beta \cap U_\gamma$

$$V_\alpha = t_{\alpha\beta} V_\beta = t_{\alpha\beta} t_{\beta\gamma} V_\gamma = t_{\alpha\beta} t_{\beta\gamma} t_{\gamma\alpha} V_\alpha$$

$$\Rightarrow \boxed{t_{\alpha\beta} t_{\beta\gamma} t_{\gamma\alpha} = 1} \quad (*)$$

D'un autre côté, on peut remplacer  $V_\alpha$  par  $S_\alpha V_\alpha$  où  $S_\alpha(z)$  est une matrice inversible holomorphe sur chaque  $U_\alpha$  sans rien changer à qui remplace

$$\boxed{t_{\alpha\beta} \rightarrow S_\alpha^{-1} t_{\alpha\beta} S_\beta} \quad (**)$$

En particulier  $t_{\alpha\beta} = S_\alpha^{-1} S_\beta$  satisfait (\*)

et définit un fibré trivial.

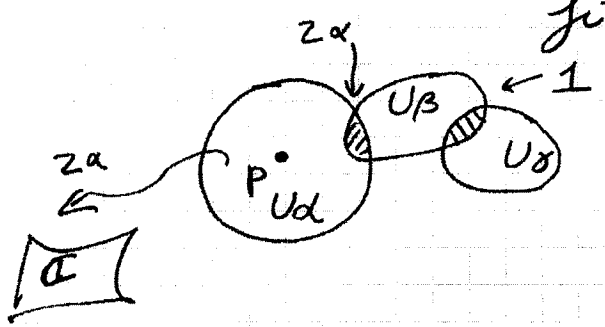
Notion de section.  $V(P)$  partout avec  $V_\alpha(P) = t_{\alpha\beta}(P) V_\beta(P)$

Des solutions de (\*) modulo (\*\*)  
sont par définition des objets dans une 1-cohomologie définie à la Čech.

### Structure "additive"

Si on a 2 fibrés en ligne définis par les fonctions de transition  $t_{\alpha\beta}$  et  $t'_{\alpha\beta}$ , alors les produits  $t_{\alpha\beta} t'_{\alpha\beta}$  satisfont (\*) et définissent un fibré en ligne que l'on appelle la Somme des deux fibrés en ligne car c'est une loi abélienne. Pour des fibrés en lignes cette définition est invariante sous des redéfinitions (\*\*).

Exemples : Fibrés ponctuels, fibre canonique



$$t_{\alpha\beta} = z_\alpha \text{ sur } U_\alpha \cap U_\beta$$

$$t_{\beta\gamma} = 1 \text{ autrement.}$$

Il existe donc une section représentée par  $z_\alpha$  dans  $U_\alpha$  et par  $1$  ailleurs et qui donc possède exactement un zéro en  $P$ .

Par addition on construit un fibré en lignes possédant une section s'annulant exactement  $n_1$  fois en  $P_1$ ,  $n_2$  fois en  $P_2$  etc. On appelle degré  $d(D) = \sum n_i$

Diviseur  $D = n_1 P_1 + \dots + n_k P_k$

et donc il existe un fibré en lignes possédant une section de diviseur  $D$ .

Deux diviseurs sont équivalents s'ils diffèrent par le diviseur d'une fonction méromorphe.

Il revient au même de dire qu'ils correspondent au même fibré en lignes, et à la multiplication de la section par une fonction méromorphe. Un fibré en lignes ayant une section sans zéro ni pôle est trivial (prendre  $t_{\alpha\beta} = s_\alpha / s_\beta$ , pour la section  $s$ , alors  $t_{\alpha\beta}$  est admissible et trivial).

La somme des fibrés correspond à celle des diviseurs le fibré canonique  $K$  correspond à  $t_{\alpha\beta} = \frac{dz_\alpha}{dz_\beta}$  Ses sections sont les 1-formes.

# La solution du problème de l'évolution

(22)

Intro

Si à  $L(t) \rightsquigarrow \xi_t$  le fibré en lignes des vecteurs propres, alors

$$\xi_t = \xi_0 + t\chi$$

autrement dit, cette transformation linéarise le mouvement. Ici la somme et le produit par le scalaire  $t$  sont entendus au sens de la structure abélienne ci-dessus.

## Fibré des vecteurs propres et fibré en lignes

Connexion entre la définition "géométrique" du fibré en lignes et sa définition abstraite.

En chaque  $P$  de la courbe spectrale, on a un espace propre de dimension 1  $E_P$ .

Soit  $(e_1 \dots e_N)$  la base de l'espace ambiant

$$U_i = \{ P \mid V_i = (e_i \cdot V) \neq 0 \quad \forall V \in E_P, V \neq 0 \}$$

Sur  $U_i \cap U_j$ , pour le même vecteur  $V$  de  $E_P$  on a  $V_i \neq 0$  et  $V_j \neq 0$

$V_i / V_j$  ne dépend pas de  $V$  et dépend analytiquement de  $P \in U_i \cap U_j$ .

On pose

$$t_{ij}(P) = (V_i / V_j)(P)$$

qui satisfait évidemment (\*) et définit un fibré en lignes abstrait.

La réciproque est moins évidente.

Une section méromorphe de la fibre en lignes ci-dessus est obtenue en posant

$$\psi_1(P) = 1, \quad (\psi_1, \psi_2, \dots, \psi_N) \in E_p$$

Par définition  $\psi$  n'a pas de zéro,  $\psi$  est régulier dans  $U_1$  et possède des pôles là où  $e_1 \cdot \psi = 0$ .

**Proposition** ①  $\psi$  a  $g + N - 1$  pôles

Preuve

$$W(\lambda) = (\det \hat{\psi}(\lambda))^2$$

$\hat{\psi} = (\psi_1, \dots, \psi_N)$  les  $\psi_k$  sont les vecteurs propres normalisés sur les feuilletés au dessus de  $\lambda$ .

A cause du carré,  $W$  ne dépend pas de l'ordre des feuilletés  $\Rightarrow$  est une fonction de  $\lambda$ .

Elle a autant de zéros que de pôles.

Là où  $e$  l'un des  $\psi_k$  a un pôle,  $W$  a un pôle double. Et  $W$  s'annule aux points de branchement (deux colonnes deviennent égales)

En un tel pt.  $\sqrt{W}$  s'annule  $\alpha$  au paramètre local  $\mu$  et donc  $W$  a un zéro simple en  $\lambda$ .

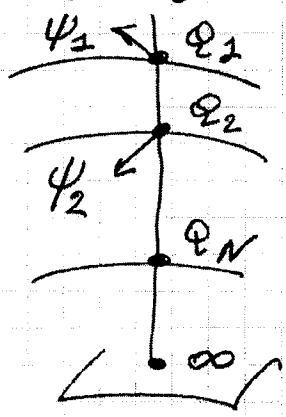
Donc, comme  $g = \frac{1}{2} B - N + 1 \Rightarrow B = 2(g + N - 1)$  le nombre des pôles de  $\hat{\psi}$  sur la surface de Riemann est  $\frac{1}{2} B = g + N - 1$

②  $N - 1$  pôles sont en fait fixés.

On suppose que  $L(\lambda) \xrightarrow{\lambda \rightarrow \infty} D$  où  $D$  est une matrice diagonale avec ses éléments diagonaux tous différents. Ceci définit une normalisation de  $L$  et un choix de  $\infty$ .

Alors la courbe spectrale a  $N$  feuilletés au dessus de  $\infty$ , et les espaces propres correspondants sont  $\alpha (1, 0 \dots 0), (0, 1, 0 \dots 0) \dots (0 \dots 0 \dots 1)$ . Donc  $\psi_2, \dots, \psi_N$  ont un pôle au dessus de  $\infty$ . Ce sont les  $(N-1)$  pôles fixes.

En outre, la fonction  $\psi$  a sa composante  $k$  qui s'annule en  $Q_1$  pour  $k = 2, \dots, N$  puisqu'elle devient  $\psi_1$ , et sa composante  $k$  qui a un pôle en  $Q_k$  (car  $(\psi_k)_k$  en a un).



Ici on fait appel à un théorème sur les surfaces de Riemann, le théorème de Riemann-Roch.

Il existe une unique fonction méromorphe (à constante près) ayant un pôle en  $Q_k$ , un zéro en  $Q_1$ , et  $g$  pôles prescrits  $P_1 \dots P_g$  ailleurs.

Ceci permet de construire la composante  $\psi_k$  de  $\psi$  pour  $k = 2, \dots, N$  et donc de construire entièrement la section  $\psi(P)$  du fibré  $E_p$ . On obtient donc une reconstruction géométrique du fibré en lignes  $E_p$  et donc de la matrice de Lax  $L$ , connaissant uniquement le diviseur de  $g$  points appelé **DIVISEUR DYNAMIQUE**

$$\mathcal{D}(L) = P_1(L) + \dots + P_g(L)$$

Etant donnée une surface de Riemann de genre  $g$ , on appelle Jacobienne le produit symétrisé de  $g$  copies de la surface.

Ceci veut dire que le point typique de la jacobienne est un ensemble de  $g$  points  $(P_1, \dots, P_g)$  mais sans considération de l'ordre, c'est à dire un diviseur  $P_1 + \dots + P_g$ .

On le munit d'une structure complexe :

Si les  $P_k$  sont paramétrés par  $\lambda_k$  alors  $J = P_1 + \dots + P_g$  est paramétré par les fonctions symétriques élémentaires des  $\lambda_k$ .

Ceci assure qu'il n'y a pas de problème quand  $P_j, P_k$  coïncident.

C'est aussi évidemment une variété compacte, car la surface de Riemann l'est.

Enfin il existe sur la Jacobienne une addition qui est une opération analytique et abélienne.

En effet, il revient au même de considérer  $\mathcal{D}$  ou  $\mathcal{D} = P_1 + \dots + P_g - g\infty$

$$\mathcal{D} + \mathcal{D}' = P_1 + \dots + P_g + P'_1 + \dots + P'_g - 2g\infty$$

Par Riemann-Roch il existe une fonction méromorphe  $f$  qui a un pôle d'ordre  $g$  à l' $\infty$ ,

$g$  autres pôles  $P''_1 \dots P''_g$  et  $2g$  zéros  $P_1 \dots P_g P'_1 \dots P'_g$

Alors  $\mathcal{D} + \mathcal{D}' \equiv P''_1 + \dots + P''_g - g\infty$ , ce qui définit l'addition  $J'' = J + J'$ .

Un théorème connu et simple dit qu'une <sup>(26)</sup>  
variété compacte munie d'une loi abélienne  
est nécessairement un tore  $\mathbb{C}^g / (\text{Réseau})$   
muni de l'addition déduite de  $\mathbb{C}^g$ . Ainsi  
la Jacobienne est un tel tore.

### Linéarisation du flot sur la Jacobienne

Le résultat principal sur le sujet est que  
le diviseur  $D(t)$  que nous avons  
défini correspondant à  $L(t)$  subit un  
mouvement linéaire uniforme sur la Jacobienne.

La démonstration la plus courte revient à utiliser  
la définition abstraite de la somme de deux  
fibrés en ligne, et utiliser la "solution"  
formelle de  $\dot{L} = [L, M]$  par une décomposition  
de Riemann-Hilbert.

### Structure à la Liouville

les variables d'action sont  $g$  paramètres  
dans les coefficients de la courbe spectrale.  
les variables d'angle sont définies sur  
le tore qui est la Jacobienne. En fait  
une section réelle sera un produit de  $g$  cercles  
qui sont les tores de Liouville.